

Алгоритмы и программные средства решения тропических линейных векторных уравнений

Дядичкин Михаил, гр. 422

Санкт-Петербургский государственный университет
Математико-механический факультет
Кафедра статистического моделирования

Научный руководитель: профессор, д.ф.-м.н. Н.К. Кривулин
Рецензент: старший преподаватель, кафедра информационно-аналитических систем,
К.К. Смирнов

6 июня 2023 г.

Введение: задача планирования расписания поездов

Задача планирования расписания поездов.

- Две группы I и J конечных станций и группа K промежуточных станций пересадки.
- Можно доехать от станции $i \in I$ до станции $k \in K$ и от станции $j \in J$ до станции $k \in K$.
- Проехать от i до j без пересадки нельзя.
- Каждый поезд отправляется из k по обратному маршруту не раньше, чем на станцию k прибудут пассажиры всех других поездов, направляющихся в k .

Для решения необходимо учитывать следующие условия:

- Временные ограничения: каждый поезд должен прибывать и отправляться из каждой станции в определенное время, учитывая расписание других поездов.
- Минимизация задержек: необходимо минимизировать задержки прибытия и отправления каждого поезда на каждой станции.

Введение: формальная постановка задачи

- a_{ki} — (известное) время движения поезда от станции i до станции k ,
- b_{kj} — (известное) время движения поезда от станции j до станции k ,
- x_i — (неизвестное) время отправления поезда со станции i ,
- y_j — (неизвестное) время отправления поезда со станции j .

Поезда со станций группы I прибудут на станцию k из K к моменту времени $s_k = \max_i (a_{ki} + x_i)$.

Поезда со станций группы J прибудут на станцию k из K к моменту времени $t_k = \max_j (b_{kj} + y_j)$.

Для обеспечения возможности пересадки и сокращения времени ожидания прибывших на станцию k пассажиров со станций I и J необходимо минимизировать $\max_k |s_k - t_k|$.

Решение задачи сводится к поиску x_i, y_j , которые обеспечивают точное или приближенное решение системы уравнений

$$\begin{cases} \max_i (a_{1i} + x_i) &= \max_j (b_{1j} + y_j), \\ &\vdots \\ \max_i (a_{mi} + x_i) &= \max_j (b_{mj} + y_j), \end{cases}$$

где m — число станций пересадки.

Пусть X — множество с операциями сложения \oplus и умножения \otimes .
 $\langle X, \oplus, \otimes \rangle$ является коммутативным полукольцом с нулем и единицей, в котором:

- сложение идемпотентно ($x \oplus x = x$),
- каждый ненулевой элемент имеет обратный по умножению.

Обозначим нулевой и единичный элементы полукольца символами 0 и 1 .

На множестве определено отношение \leq частичного порядка.

Выполняется свойство монотонности сложения и умножения.

Положим $X_+ = X \setminus \{0\}$. Тогда для любого $x \in X_+$ и целого $p > 0$:

$$0^p = 0, \quad x^0 = 1, \quad x^p = x^{p-1} \otimes x = x \otimes x^{p-1}, \quad x^{-p} = (x^{-1})^p.$$

Операция возведения в целую степень может быть естественным образом расширена на полукольцо для случая степени с рациональным показателем.

В данной работе используется полукольцо

$$\mathbb{R}_{\max,+} = \{\mathbb{R} \cup \{-\infty\}, \max, +\}.$$

Определение (Сопряженно транспонированный вектор)

Для вектора $x = (x_1, \dots, x_n)^T$ определим вектор $x^- = (x_1^-, \dots, x_n^-)$, где $x_i^- = x_i^{-1}$, если $x_i \neq 0$, и $x_i^- = 0$ в противном случае. Такой вектор x^- называется сопряженно транспонированным вектором.

Матрица A — регулярная, если она не имеет нулевых строк и столбцов. Если матрица A является регулярной, определим величину

$$\Delta(A, b) = (A(b^- A)^-)^- b.$$

Пусть матрица A состоит из столбцов (a_1, \dots, a_n) , тогда введем обозначение для линейной оболочки столбцов матрицы $A = \text{span} \{a_1, \dots, a_n\}$.

Лемма (Кривулин, 2009)

Для любой матрицы A и вектора $b > 0$ выполняется:

$$\rho(A, b) = \sqrt{\Delta(A, b)}.$$

Если $\Delta(A, b) < \infty$, то минимум величины $\rho(Ax, b)$ достигается при $x = \sqrt{\Delta(A, b)}(b^- A)^-$.

Постановка задачи

Система уравнений

$$\begin{cases} \max_i(a_{1i} + x_i) &= \max_j(b_{1j} + y_j), \\ &\vdots \\ \max_i(a_{mi} + x_i) &= \max_j(b_{mj} + y_j), \end{cases}$$

где $1 \leq i \leq n_1$, $1 \leq j \leq n_2$.

Перепишем систему в терминах полукольца $\mathbb{R}_{\max,+}$

$$\begin{cases} a_{11}x_1 \oplus \dots \oplus a_{1n_1}x_{n_1} &= b_{11}y_1 \oplus \dots \oplus b_{1n_2}y_{n_2}, \\ &\vdots \\ a_{m1}x_1 \oplus \dots \oplus a_{mn_1}x_{n_1} &= b_{m1}y_1 \oplus \dots \oplus b_{mn_2}y_{n_2}. \end{cases}$$

Система равносильна матричному уравнению

$$Ax = By,$$

где матрицы A и B имеют размерности $m \times n_1$, $m \times n_2$ соответственно, вектора x и y имеют размерности n_1 и n_2 .

В рамках данной работы

- ❶ было найдено аналитическое решение уравнения $Ax = Bx$ для матриц размерности $1 \times n$ и $m \times 1$,
- ❷ была написана программа, основанная на алгоритме, описанном в (Кривулин, 2023),
- ❸ была продемонстрирована работа программы в двух случаях:
 - решение существует, его поиск,
 - решения не существует, необходимо найти оптимальные значения,
- ❹ были исследованы возникающие зависимости для разных размерностей матриц,
- ❺ было реализовано графическое представление:
 - линейные оболочки матриц 3×3 ,
 - работа алгоритма для матриц 2×2 ,
 - работа алгоритма для матриц 3×3 .

Алгоритм (Кривулин, 2023)

Входные данные: A, B . Выходные данные: Δ_*, x^*, y^* .

1 $i = 0$, выбрать вектор x_0

2 Вычислить

$$\Delta_i = (B((Ax_i)^- B)^-)^- Ax_i, \quad y_{i+1} = \sqrt{\Delta_i}((Ax_i)^- B)^-$$

3 Если $\Delta_i = 0$ или $y_{i+1} = y_j$ для какого-то $j < i$, то

$$\Delta_* = \Delta_i, \quad x^* = x_i, \quad y^* = y_{i+1}$$

и закончить, иначе $i = i + 1$

4 Вычислить

$$\Delta_i = (A((By_i)^- A)^-)^- By_i, \quad x_{i+1} = \sqrt{\Delta_i}((By_i)^- A)^-$$

5 Если $\Delta_i = 0$ или $x_{i+1} = x_j$ для какого-то $j < i$, то

$$\Delta_* = \Delta_i, \quad x^* = x_{i+1}, \quad y^* = y_i$$

и закончить, иначе $i = i + 1$

6 Перейти к шагу 2

Пример 1: решение существует

Входные данные:

$$A = \begin{pmatrix} 103 & 150 & 20 \\ 40 & 13 & 50 \\ 78 & 150 & 100 \end{pmatrix}, B = \begin{pmatrix} 270 & 50 & 140 \\ 40 & 2 & 80 \\ 80 & 100 & 190 \end{pmatrix}.$$

Начальный вектор: $x_0 = (150, 50, 100)^T$.

Ход алгоритма:

- ❶ $i = 0: \Delta_0 = 60, y_1 = (13, 158, 68)^T$
- ❷ $i = 1: \Delta_1 = 25, x_2 = (132.5, 120.5, 122.5)^T$
- ❸ $i = 2: \Delta_2 = 0, y_3 = (0.5, 170.5, 80.5)^T$

Решение: $x^* = (132.5, 120.5, 122.5)^T, y^* = (0.5, 170.5, 80.5)^T$.

Пример 2: решения не существует

Входные данные:

$$A = \begin{pmatrix} 103 & 150 & 20 \\ 40 & 13 & 50 \\ 78 & 150 & 100 \\ 24 & 221 & 42 \\ 21 & 42 & 57 \end{pmatrix}, B = \begin{pmatrix} 270 & 50 & 140 \\ 40 & 2 & 80 \\ 80 & 100 & 190 \\ 17 & 88 & 534 \\ 342 & 35 & 1 \end{pmatrix}.$$

Начальный вектор: $x_0 = (150, 50, 100)^T$.

Ход алгоритма:

- ① $i = 0: \Delta_0 = 75, y_1 = (-133.5, 165.5, -225.5)^T$
- ② $i = 1: \Delta_1 = 48, x_2 = (136.5, 89.5, 141.5)^T$
- ③ $i = 2: \Delta_2 = 48, y_3 = (-119.5, 165.5, -199.5)^T$
- ④ $i = 3: \Delta_3 = 48, x_4 = (136.5, 89.5, 141.5)^T$

Оптимальные значения:

$$x^* = (136.5, 89.5, 141.5)^T, y^* = (-119.5, 165.5, -199.5)^T.$$

Зависимость числа итераций от размерности матриц

- Зависимость количества итераций от размерности матриц является мерой эффективности алгоритма
- Алгоритм может заканчивать работу за разное количество итераций

Изучим зависимости между количеством строк и столбцов матриц A и B при решении уравнения $Ax = Bu$, и количеством итераций алгоритма для поиска решения.

Реализация:

- Выбирались размерности матриц
- Значения матриц генерировались как случайные равновероятные целые числа от 1 до 100
- Моделировалась работа алгоритма тысячу раз
- Производился анализ полученных результатов

Результаты. Матрицы 3×3

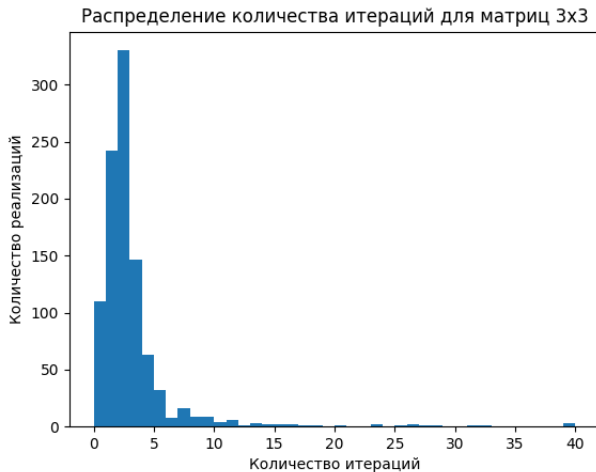


Рис. 1: Гистограмма количества итераций

Результаты:

Размер матриц	3×3	4×4	5×5
Решения не были найдены	359	370	397
Решения были найдены	641	630	603
Завершение из-за ограничения итераций	3	43	80
Итераций больше, чем число столбцов	80	86	114

Выводы:

- С ростом размерности матриц растет количество реализаций, в которых алгоритм завершает работу из-за ограничений на число итераций
- С ростом размерности матриц растет среднее количество итераций
- С ростом размерности матриц количество решенных уравнений падает
- С ростом размерности матриц большее количество уравнений не решается за максимальное заданное количество итераций

Визуализация. Матрицы 3×3

Введем декартову систему координат Ouv на плоскости $x + y + z = 0$.

Начало отсчета совпадает с началом отсчета системы $Oxyz$.

Ось Ov — проекция оси Oz на плоскость.

x', y', z' — проекции осей x, y, z на плоскость Ouv .

Выражаем u, v через x, y, z :

$$x' = \frac{x}{\sqrt{2}}, \quad y' = \frac{y}{\sqrt{2}}, \quad z' = \frac{z}{\sqrt{2}}$$

$$v = z' - x' \cos\left(\frac{\pi}{3}\right) - y' \cos\left(\frac{\pi}{3}\right) = \frac{1}{2\sqrt{2}}(2z - x - y)$$

$$u = x' \sin\left(\frac{\pi}{3}\right) - y' \sin\left(\frac{\pi}{3}\right) = \frac{\sqrt{3}}{2\sqrt{2}}(x - y)$$

Получаем выражения для u и v :

$$u = \frac{1}{3} \frac{\sqrt{3}}{2\sqrt{2}}(3\hat{x} - 3\hat{y}) = \frac{\sqrt{3}}{2\sqrt{2}}(\hat{x} - \hat{y})$$

$$v = \frac{1}{3} \frac{1}{2\sqrt{2}}(6\hat{z} - 3\hat{x} - 3\hat{y}) = \frac{2\hat{z} - \hat{x} - \hat{y}}{2\sqrt{2}}.$$

Визуализация. Матрицы 3×3 . Проекция линейной оболочки

Пример

линейной оболочки столбцов для матрицы

$$A = \begin{pmatrix} 1 & 0 & 0 \\ 0 & 1 & 0 \\ 0 & 0 & 1 \end{pmatrix}$$

Построение линейной оболочки:

- генерировались числа s_1, s_2, \dots, s_n из равномерного распределения на отрезке $[-\|A\|, \|A\|]$, n — число столбцов матрицы A ,
- получался вектор $z = (z_i), z_i = \max_j (a_{ij} + s_j), i = 1 \dots n$,
- строилась проекция вектора z ,
- алгоритм повторялся 1000 раз.

Красные точки — это проекции столбцов матрицы.

Черные точки — это сгенерированные значения линейной оболочки.

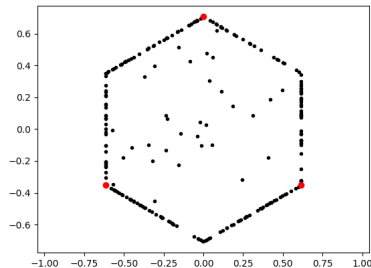


Рис. 2: Линейная оболочка

Визуализация. Матрицы 3×4 и 3×5 . Проекции линейных оболочек

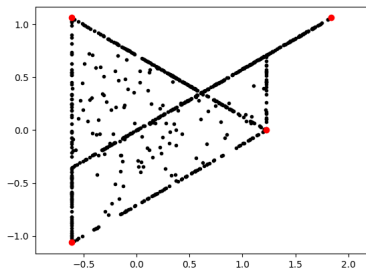


Рис. 3: Линейная оболочка столбцов матрицы

$$A = \begin{pmatrix} 1 & 0 & -1 & 1 \\ -1 & 1 & 0 & 2 \\ 0 & -1 & 1 & 1 \end{pmatrix}$$

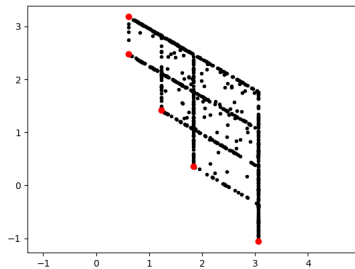


Рис. 4: Линейная оболочка столбцов матрицы

$$A = \begin{pmatrix} 1 & 1 & 2 & 3 & 5 \\ 0 & 0 & 0 & 0 & 0 \\ 5 & 4 & 3 & 2 & 1 \end{pmatrix}$$

Визуализация. Матрицы 2×2

Визуализация процесса поиска решения алгоритмом.

Для матриц 2×2 изображаются линейные оболочки столбцов матриц и приближения, найденные алгоритмом.

Для матриц 3×3 сперва необходимо спроецировать трехмерные вектора на двумерную плоскость, затем вывести результаты аналогично матрицам 2×2 .

Алгоритм для матриц 2×2 :

- 1 Выводим на изображение прямые, проходящие под углом 45° через координаты столбцов матриц. Это будут линейные оболочки столбцов матриц
- 2 Находим приближение Δ_i и y_{i+1}
- 3 Выводим на изображение точку с координатами By_{i+1}
- 4 Находим приближение Δ_i и x_{i+1}
- 5 Выводим на изображение точку с координатами Ax_{i+1}
- 6 Переходим к пункту (2)

Визуализация. Матрицы 2×2 . Решение найдено

Входные данные:

$$x_0 = \begin{pmatrix} 29 \\ 88 \end{pmatrix}, A = \begin{pmatrix} 63 & 2 \\ 16 & 95 \end{pmatrix}, B = \begin{pmatrix} 78 & 47 \\ 23 & 65 \end{pmatrix}.$$

Ход работы алгоритма:

❶ $i = 0, y_1 = (50.5, 81.5)^T, \Delta_0 = 73$

❷ $i = 1, x_2 = (65.5, 51.5)^T, \Delta_1 = 0$

Решение и невязка:

$$x^* = \begin{pmatrix} 65.5 \\ 51.5 \end{pmatrix}, y^* = \begin{pmatrix} 50.5 \\ 81.5 \end{pmatrix}, \Delta_* = 0$$

Алгоритм закончил работу, так как в точке (3) невязка стала равна нулю.

Решение выглядит верным, потому что линейные оболочки матриц A и B пересекаются.

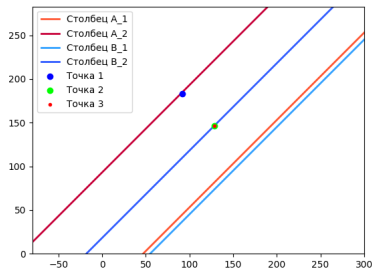


Рис. 5: Работа алгоритма

Визуализация. Матрицы 2×2 . Решение не найдено

Входные данные:

$$x_0 = \begin{pmatrix} 36 \\ 18 \end{pmatrix}, A = \begin{pmatrix} 5 & 29 \\ 62 & 74 \end{pmatrix}, B = \begin{pmatrix} 49 & 93 \\ 22 & 88 \end{pmatrix}.$$

Оптимальные значения и невязка равны:

$$x^* = \begin{pmatrix} 33 \\ 21 \end{pmatrix}, y^* = \begin{pmatrix} 26 \\ -18 \end{pmatrix}, \Delta_* = 50$$

Алгоритм закончил работу из-за совпадения точек (2) и (4).
Решение выглядит верным, потому что:

- линейные оболочки столбцов матриц A и B не пересекаются,
- точки (3) и (4) лежат на границах линейных оболочек.

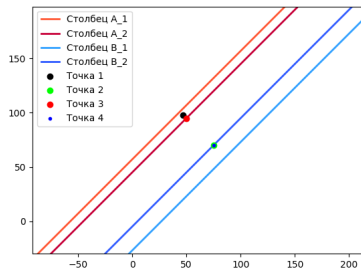


Рис. 6: Работа алгоритма

Визуализация. Матрицы 3×3 . Решение найдено

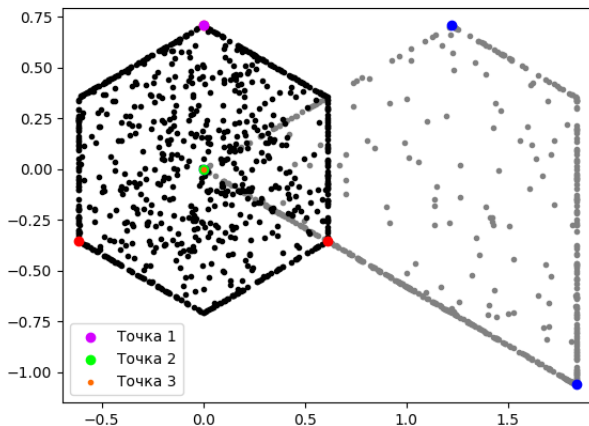


Рис. 7: Работа алгоритма

Визуализация. Матрицы 3×3 . Решение найдено

Входные данные:

$$x_0 = \begin{pmatrix} 10 \\ 9 \\ 8 \end{pmatrix}, \quad A = \begin{pmatrix} 1 & 0 & 0 \\ 0 & 1 & 0 \\ 0 & 0 & 1 \end{pmatrix}, \quad B = \begin{pmatrix} 3 & 0 & 0 \\ 0 & -2 & 0 \\ 0 & 0 & 0 \end{pmatrix}$$

Ход работы алгоритма:

❶ $i = 0, y_1 = (7.5, 10.5, 10.5)^T, \Delta_0 = 1$

❷ $i = 1, x_2 = (9.5, 9.5, 9.5)^T, \Delta_1 = 0$

Оптимальные значения и невязка равны:

$$x^* = x_0 = \begin{pmatrix} 9.5 \\ 9.5 \\ 9.5 \end{pmatrix}, \quad y^* = \begin{pmatrix} 7.5 \\ 10.5 \\ 10.5 \end{pmatrix}, \quad \Delta_* = 0$$

Алгоритм закончил работу так как в точке (3) невязка стала равна нулю.

Визуализация. Матрицы 3×3 . Решение не найдено

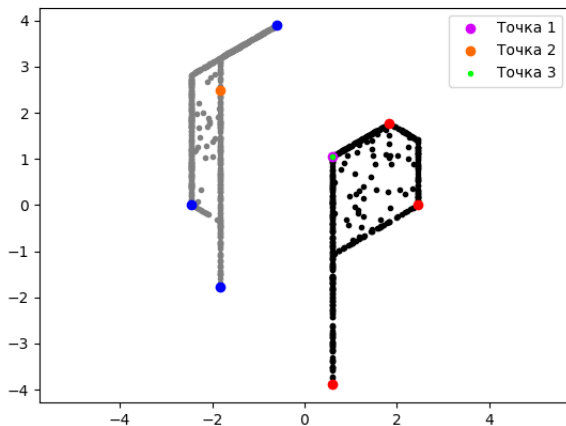


Рис. 8: Работа алгоритма

Визуализация. Матрицы 3×3 . Решение не найдено

Входные данные:

$$x_0 = \begin{pmatrix} 10 \\ 9 \\ 8 \end{pmatrix}, \quad A = \begin{pmatrix} 3 & 2 & 1 \\ 0 & -2 & 0 \\ 4 & 0 & -5 \end{pmatrix}, \quad B = \begin{pmatrix} -3 & -2 & -1 \\ 0 & 2 & 0 \\ -4 & 0 & 5 \end{pmatrix}$$

Ход работы алгоритма:

❶ $i = 0, y_1 = (12.0, 10.0, 9.0)^T, \Delta_0 = 4$

❷ $i = 1, x_2 = (10.0, 9.0, 8.0)^T, \Delta_1 = 4$

Оптимальные значения и невязка равны:

$$x^* = \begin{pmatrix} 10 \\ 9 \\ 8 \end{pmatrix}, \quad y^* = \begin{pmatrix} 12 \\ 10 \\ 9 \end{pmatrix}, \quad \Delta_* = 4$$

Алгоритм закончил работу, так как значения в точках (1) и (3) совпали.

Визуализация. Матрицы 3×3 . Большое количество итераций

Входные данные:

$$x_0 = \begin{pmatrix} 49 \\ 56 \\ 66 \end{pmatrix}, \quad A = \begin{pmatrix} 81 & 30 & 68 \\ 72 & 28 & 2 \\ 2 & 76 & 65 \end{pmatrix},$$

$$B = \begin{pmatrix} 35 & 18 & 39 \\ 45 & 24 & 33 \\ 32 & 48 & 85 \end{pmatrix}.$$

Оптимальные значения и невязка:

$$x^* = \begin{pmatrix} 47.5 \\ 98.5 \\ 60.5 \end{pmatrix}, \quad y^* = \begin{pmatrix} 81.5 \\ 102.5 \\ 89.5 \end{pmatrix}, \quad \Delta_* = 0$$

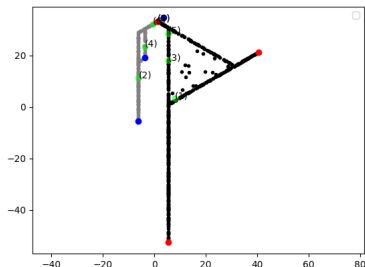


Рис. 9: Работа алгоритма

Основные результаты работы:

- 1 изучены основы тропической математики,
- 2 рассмотрены алгоритмы решения уравнений,
- 3 найдено аналитическое решение уравнения $Ax = Bx$ для некоторых размерностей матриц,
- 4 выбран наиболее оптимальный алгоритм для дальнейшего исследования,
- 5 изучена зависимость количества итераций алгоритма от начальных параметров,
- 6 реализовано графическое представление линейных оболочек столбцов матриц,
- 7 реализовано графическое представление работы алгоритма.